



Б.ЧЧ

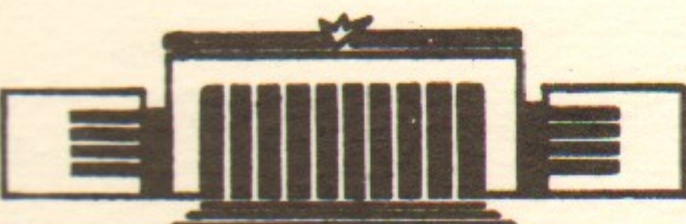
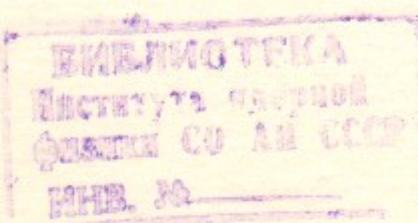
ИНСТИТУТ ЯДЕРНОЙ ФИЗИКИ СО АН СССР

40

А.А.Бельков, Э.А.Кураев, В.Н.Первушин

ПРОЦЕССЫ ОБРАЗОВАНИЯ  
ПСЕВДОСКАЛЯРНЫХ МЕЗОНОВ  
ПРИ  $e^+e^-$  СТОЛКНОВЕНИИ

ПРЕПРИНТ 84-82



НОВОСИБИРСК

ПРОЦЕССЫ ОБРАЗОВАНИЯ ПСЕВДОСКАЛЯРНЫХ МЕЗОНОВ  
ПРИ  $e^+e^-$  СТОЛКНОВЕНИИ

А.А.Бельков, Э.А.Кураев, В.Н.Первушин

АННОТАЦИЯ

Рассмотрены процессы образования систем  $\pi^0\pi^0$ ,  $\chi^0\bar{K}^0$ ,  $\pi^+\pi^-$ ,  $\pi^+\pi^0\gamma$  в канале аннигиляции при  $e^+e^-$  столкновениях, а также  $\pi^0\pi^0$ ,  $\pi^+\pi^-\pi^0$  в канале рассеяния в области инвариантных масс до 1-1,5 ГэВ. Вычисления проведены в однопетлевом приближении в киральной модели (КМ). В области инвариантных масс порядка  $4\pi F_\pi \sim 1.2$  ГэВ, где несправедливо однопетлевое приближение, выражения для сечений получены на феноменологическом уровне. Измерение сечений указанных процессов было бы критичным для КМ. В рамках квантовой электродинамики с учетом формфактора пиона вычислено сечение процесса  $e^+e^- \rightarrow \pi^+\pi^-\gamma$ , а также асимметрия вылета пионов в симметричной постановке опыта.

В экспериментах на встречных пучках имеется возможность изучать образование и взаимодействие псевдоскалярных мезонов при умеренно-больших энергиях. В однофотонном канале аннигиляции традиционным является изучение формфакторов пионов и каонов, вклады в них векторных мезонов  $\rho$ ,  $\omega$ ,  $\phi$ , а также их возбуждений  $\rho'$ ,  $\omega'$ ,  $\phi'$ . Интерес представляет изучение резонансных структур в области энергий от 1400 до 2000 МэВ. Прецизионное измерение сечения  $e^+e^-$  аннигиляции в адронах в области близи порога важно для насыщения разного рода правил сумм, связывающих характеристики частиц — массы, ширины, константы распада, аномальные моменты с интегралами от  $R(s) = \sigma^{e^+e^- \rightarrow h}(s)/\sigma^{e^+e^- \rightarrow \pi^+\pi^-}(s)$ . Электрообразование некоторой системы мезонов  $S(\pi, K)$  в процессах  $e^+e^- \rightarrow e^+e^- S(\pi, K)$  позволяет изучать зарядово-четные состояния системы мезонов. Результаты при этом могут быть сформулированы в терминах динамических поляризумостей мезонов. Изучение образования систем  $\pi\pi$ ,  $\pi^+\pi^-\pi^0, \pi\pi\gamma$ ,  $\chi\bar{K}$  вблизи порога в канале однофотонной аннигиляции, также как и в двухфотонном механизме для инвариантных масс образовавшейся системы вблизи порога позволило бы проверить предсказания алгебры токов, однозначно связывающие сечения соответствующих процессов. Наконец, в области инвариантных масс системы мезонов от порога до ближайшего резонанса предполагается возможность проверить предсказания киральной модели (КМ) в однопетлевом приближении. Описание в рамках киральной модели в однопетлевом приближении, справедливо в области  $2E < 4\pi F_\pi \sim 1.2$  ГэВ в однофотонном канале образования и для инвариантных масс  $\lesssim 1.2$  ГэВ в двухфотонном. Рассмотрению упомянутых выше процессов в рамках киральной модели и квантовой электродинамики с феноменологическим описанием резонансов и посвящена эта работа.

В п. I рассмотрены процессы образования систем  $\pi^0\pi^0$ ,  $\chi^0\bar{\chi}^0$ ,  $\pi^+\pi^-$  в двухфотонном канале аннигиляции  $e^+e^-$  в области энергий до порога образования  $f$ -мезона  $2E < 1260$  МэВ в однопетлевом приближении в КМ. При этом главный вклад, неподавленный фактором  $(M_e/E)^2$ , происходит от нуклонных промежуточных петель. Сечение процесса  $e^+e^- \rightarrow \pi^0\pi^0$  в области вблизи

порога составляет  $10^{-34}$  см<sup>2</sup>. Процесс образования  $K_0 \bar{K}_0$  может быть источником событий  $K_L \bar{K}_L$ ,  $K_S \bar{K}_S$ , запрещенных в однофотонном канале.

В п.2 получено сечение процесса  $e^+e^- \rightarrow \pi^+ \pi^- \gamma$ . В п.3 вычислена асимметрия  $\gamma(\theta, \Delta\theta) = (d\sigma(\theta) - d\sigma(\pi-\theta)) / (d\sigma(\theta) + d\sigma(\pi-\theta))$  образования  $\pi^+ \pi^-$ , происходящая от интерференции амплитуд аннигиляции через один и два фотона в постановке  $\Delta\theta, \Delta\psi$ .

В пп. 4, 5 получены сечения процессов  $e^+e^- \rightarrow \pi^+ \pi^- \pi^0$ ,  $e^+e^- \rightarrow \pi^0 \pi^0 \gamma$ , идущих тоже через промежуточное нуклонное состояние. В первом из этих процессов, имеющем в области энергий вблизи порога сечение  $\sim 10^{-34}$  см<sup>2</sup>, существенна аномалия, аналогичная таковой, ответственной за распад  $\pi^0 \rightarrow \gamma \gamma$  и связанная с ней в силу низкоэнергетических теорем.

В пп. 6, 7 рассмотрен механизм электророждения систем  $2\pi$ ,  $3\pi$ . В первом может быть измерена динамическая поляризумость  $\pi^0$ , при этом существенным оказывается механизм с промежуточной пионной петлей. Во втором может быть проверено предсказание, следующее из лагранжиана Бесса-Зумино.

Параллельно проводится феноменологическое описание с использованием промежуточных резонансных состояний. При этом оказывается, что в области энергий вне резонансов вклад однопетлевого приближения в КМ значительно превышает вклад от промежуточных резонансных состояний. Вклад высших приближений КМ, происходящий от учета двух и более  $\pi$ ,  $\pi^+$ -петель подавлен в рассматриваемой области энергий дополнительным фактором  $(2\varepsilon/4\pi F_\pi)^2$ . Это определяет точность представленного расчета. В частности результаты неприменимы в области  $2E \sim 4\pi F_\pi \approx 1.2$  ГэВ, где получены формулы на феноменологическом уровне.

Лагранжиан системы  $\pi N$ -полей в нарушенной киральной  $SU(2) \times SU(2)$ -симметрии имеет вид [I]

$$\mathcal{L} = \mathcal{L}_N + \mathcal{L}_\pi + \mathcal{L}_{NN} + \mathcal{L}_{\pi\pi}, \quad (I)$$

где лагранжианы свободных нуклонных  $\Psi_N = (\Psi_p, \Psi_n)$  и пионных полей:

$$\mathcal{L}_N = (-i/2)(\bar{\Psi}_N \partial^\mu \Psi_N - (\partial_\mu \bar{\Psi}_N) \gamma^\mu \Psi_N) - M_N \bar{\Psi}_N \Psi_N,$$

(2)

$$\mathcal{L}_\pi = (1/2)(\partial_\mu \vec{\pi} \partial^\mu \vec{\pi} - m_\pi^2 \vec{\pi}^2);$$

для вычисления в однопетлевом приближении достаточно низших порядков разложения  $\mathcal{L}_{NN}$ ,  $\mathcal{L}_{\pi\pi}$  по константе  $1/4\pi F_\pi$  ( $F_\pi = 94$  МэВ — константа распада  $\pi \rightarrow \mu\nu$ ):

$$\mathcal{L}_{NN} = i g_A (M_N/F_\pi) \bar{\Psi}_N \gamma^\mu \vec{\pi} \Psi_N + (M_N/2F_\pi) \bar{\Psi}_N \Psi_N \cdot \vec{\pi}^2, \quad (3)$$

$$\mathcal{L}_{\pi\pi} = (-1/4F_\pi^2) [\vec{\pi}^2 (\partial_\mu \vec{\pi})^2 - \beta m_\pi^2 (\vec{\pi}^2)^2],$$

где  $g_A = 1.25$  — отношение констант связи аксиального и векторного токов,  $\beta$  — параметр нарушения киральной симметрии.

Электромагнитное взаимодействие вводится следующим образом:

$\partial_\mu \Psi_p \rightarrow \partial_\mu \Psi_p + ie A_\mu \Psi_p; \partial_\mu \pi^\pm \rightarrow \partial_\mu \pi^\pm + ie A_\mu \pi^\pm, \pi^\pm = (\pi^+, \pi^-)/\sqrt{2}$ , в результате в лагранжиане появляются члены, описывающие взаимодействие с электромагнитным полем

$$\begin{aligned} \mathcal{L}_{PA} &= e A_\mu \bar{\Psi}_p \gamma^\mu \Psi_p, \\ \mathcal{L}_{\pi A} &= ie A_\mu (\pi_2 \partial^\mu \pi_1 - \pi_1 \partial^\mu \pi_2) + \frac{1}{2} e^2 A_\mu A^\mu (\pi_1^2 + \pi_2^2) - (\vec{\pi}^2/4F_\pi^2) [2ie \\ &\cdot A_\mu (\pi_2 \partial^\mu \pi_1 - \pi_1 \partial^\mu \pi_2) + e^2 A_\mu A^\mu (\pi_1^2 + \pi_2^2)]. \end{aligned} \quad (4)$$

I. Рассмотрим процесс  $e^+e^- \rightarrow \pi^0 \pi^0$  в области энергий до массы  $\pi$ -мезона ( $2\varepsilon < 1.27$  ГэВ) (см. рис. I). Матричный элемент имеет вид

$$M_{e^+e^- \rightarrow \pi^0 \pi^0} = \frac{ie^2}{(2\pi)^4} \int \frac{d^4 k_1 d^4 k_2 \delta^4(k_1 + k_2 - q)}{k_1^2 k_2^2 ((p-k_1)^2 - m_\pi^2)} \bar{\Psi}_p(p-k_1) \bar{\Psi}_n(p-k_2) T_{\mu\nu}$$

где  $T_{\mu\nu}$  есть амплитуда превращения двух виртуальных фотонов с 4 импульсами  $k_1, k_2$  в пару мезонов с импульсами  $q_1, q_2$ . При вычислении  $T_{\mu\nu}$  надо принимать во внимание только нуклонную промежуточную петлю, поскольку вклад пионной содержит импульсы пионов  $q_1, q_2$  только в комбинации  $(q_1 + q_2)$  ( $S$ -волну) и,

поэтому пропорционален малому множителю  $(M_e/E)^2$ .

В области  $S = (P_+ + P_-)^2 = (q_1 + q_2)^2 \sim M_N^2$ ,  $S \gg m_\pi^2$  матричный элемент содержит "большой" множитель  $L \approx \ln(M_N^2/m_\pi^2) \sim 15$ , происходящий от области квазиреальности виртуального электрона на диаграмме рис.1:  $M_e^2 \ll |(P_- - q_1)^2| \lesssim M_N^2$ . Вычисляя интегралы по 4 импульсам нуклонной петли [2], удерживая только члены, не исчезающие в пределе  $M_e \rightarrow 0$  и содержащие  $L$ , получаем для матричного элемента выражение:

$$M_{KM}^{e^+e^- \rightarrow \pi^+\pi^-} = M_{KM}^{e^+e^- \rightarrow \pi^0\pi^0} = 8i \left(\frac{\alpha g_A}{q_\pi F_\pi}\right)^2 V(P_+) \hat{q}_1 U(P_-) L \cdot A(s, t, u), \quad (5)$$

где

$$A(s, t, u) = \frac{s(u-t)}{2ut} I_s + \frac{s^2}{2tu} \left(1 - \frac{u^2}{2m_N^2 t}\right) I_t - \frac{s^2}{2tu} \left(1 - \frac{t^2}{2u m_N^2}\right) I_u + \frac{s^3(u-t)}{2u^2 t^2} \alpha_s + \frac{ts}{2u^2} \alpha_t - \frac{us}{2t^2} \alpha_u + \frac{s(t-u)}{tu} ds - \frac{t}{u} \lambda_t + \frac{u}{t} \lambda_u,$$

$$\alpha_s = -\frac{M_N^2}{s} \int_0^1 dx \ln \left(1 - i\varepsilon - \frac{s}{m_N^2} X(\mu_X)\right), \quad \alpha_t = -\frac{M_N^2}{s} \int_0^1 \frac{dx}{x} \ln \left(1 - i\varepsilon - \frac{s}{m_N^2} X(\mu_X)\right),$$

$$I_s = \int_0^1 \frac{dx}{\frac{s}{m_N^2} + \frac{tu}{m_N^2} X(\mu_X)} \left[ \ln \left(1 - i\varepsilon - \frac{t}{m_N^2} X(\mu_X)\right) + \ln \left(1 - i\varepsilon - \frac{u}{m_N^2} Y(\mu_Y)\right) \right], \quad (6)$$

$$S = (q_1 + q_2)^2, \quad P_+ + P_- = q_1 + q_2,$$

$$t = (P_- - q_1)^2 = -2\varepsilon^2(1 - \cos\theta),$$

$$u = (P_- - q_2)^2 = -2\varepsilon^2(1 + \cos\theta).$$

В нерелятивистском пределе  $\varepsilon \ll M_N$  имеем:

$$A \approx \frac{t-u}{60M_N^2} = \frac{\varepsilon^2}{15M_N^2} \cos\theta \quad (7)$$

Сечение процессов  $e^+e^- \rightarrow \pi^0\pi^0$ :

$$\frac{d\sigma}{d\Omega} = \frac{1}{2!} \frac{\beta_\pi}{8\pi^2 \varepsilon^2} \left(\frac{\Sigma g_A}{2\pi F_\pi}\right)^4 L^2 \ln^2\theta \cdot |A|^2, \quad \beta_\pi = \left(1 - \frac{m_\pi^2}{\varepsilon^2}\right)^{1/2}, \quad (8)$$

множитель  $1/2!$  учитывает тождественность  $\pi^0$  мезонов. Выражение (8) справедливо в области  $(\varepsilon/2\pi F_\pi)^2 < 1$ ,  $\varepsilon$  - энергия частицы в пучке. Сечение (8) квадратично растет с энергией и для  $2\varepsilon \sim M_N$  составляет  $10^{-34}$  см $^2$ .

Пользуясь (8) можно получить грубую оценку сечения процессов  $e^+e^- \rightarrow K_S K_S$ ,  $e^+e^- \rightarrow K_L K_L$ : для этого надо (8) умножить на фактор  $(1/4) \beta_K / \beta_\pi \approx (1/4) (1 - m_K^2/\varepsilon^2)^{1/2}$ .

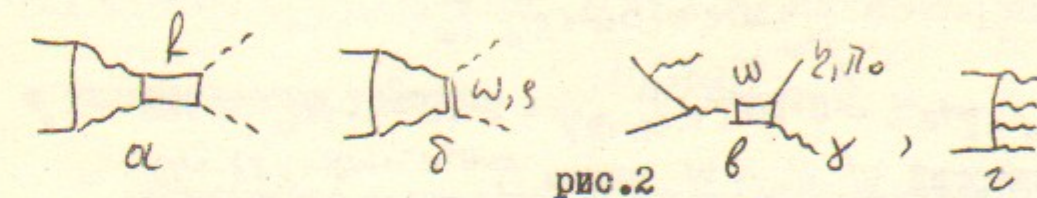


рис.2

Известно, что последовательное применение КМ в области  $2\varepsilon \gtrsim 4\pi F_\pi$ , учитывающее приближение с любым числом петель, воспроизводит резонансный характер взаимодействия мезонов. Учет однопетлевого обмена в области резонансов является двойным счетом и, поэтому, некорректен. Для этой области можно воспользоваться феноменологическим описанием. Вклад промежуточного состояния  $f$ -мезона [3] (рис.2а).

$$\frac{d\sigma}{d\Omega} = \frac{25}{2!} \left(\frac{2\varepsilon}{m_f}\right)^6 \frac{\Gamma^2 \mathcal{V}_{e^+e^- \rightarrow f\bar{f}}}{(m_f^2 - 4\varepsilon^2)^2 + m_f^2 \Gamma^2} h_f^2(\theta), \quad \theta = \vec{P} \cdot \vec{q}_1. \quad (9)$$

Сечения (8) и (9) становятся сравнимы в области  $2\varepsilon \sim 1$  ГэВ. ( $M_K = 1270$ ,  $\Gamma = 150$ ). Вкладом от обмена  $W$  и  $\rho$  мезоном (рис.2б) в этой области энергий можно пренебречь.

В качестве фоновых процессов с  $4\gamma$  в конечном состоянии необходимо учесть процессы, идущие по схеме рис.2в и 2г. Сечение процесса  $e^+e^- \rightarrow 4\gamma$ , рассчитываемое в рамках квантовой электродинамики [4] (рис.2г)  $\sigma^{e^+e^- \rightarrow 4\gamma} \approx (2^4/98\pi S) L^5$  велико: в области энергий  $S \sim M_N^2$  достигает величины  $3 \cdot 10^{-33}$  см $^2$ , однако кинематическая область главного вклада в сечение отвечает малым  $\sim M_e/\varepsilon$  углам эмиссии фотонов к оси пучков.

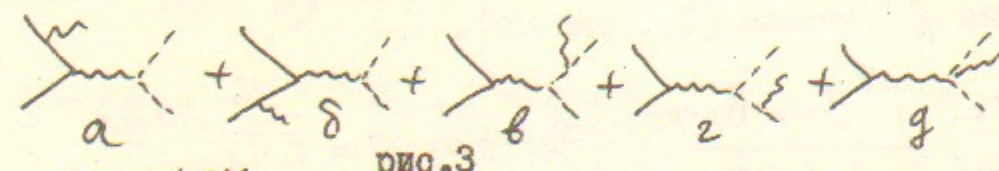
В области же углов эмиссии  $\sim 1$ , куда дает вклад процесс  $e^+e^- \rightarrow 2\gamma$  сечение процесса  $e^+e^- \rightarrow 4\gamma$  пренебрежимо мало  $\sigma_{e^+e^- \rightarrow 4\gamma} \sim 10^{-36} \text{ см}^2$ . Образование 4-х фотонов по схеме рис.2в:  $e^+e^- \rightarrow b(\gamma) \gamma \gamma \rightarrow 4\gamma$  отвечает "механизму возвращения на резонанс" [5]. При этом один из фотонов летит в узком конусе  $\sim M_e/\epsilon$  вдоль оси пучков и имеет энергию  $W \sim 2\varepsilon - M_w$ , сумма энергий остальных трех фотонов равна энергии покоя  $W$  мезона. Сечение процесса имеет вид

$$\sigma(W=2\varepsilon) = \frac{2\alpha}{\pi} \left( \ln \frac{W^2}{m_e^2} - 1 \right) \left( \frac{1}{W-M_w} - \frac{2M_w}{W^2} \right) \int dw \sigma_{pg}(w), \quad (10)$$

где  $\int dw \sigma_{pg}(w) \approx \frac{6\pi^2}{m_w^2} B_{e^+e^-} B_{W \rightarrow \gamma\gamma} \Gamma_w$ .

Пользуясь  $B_{W \rightarrow e^+e^-} = 8 \cdot 10^{-5}$ ,  $B_{W \rightarrow \gamma\gamma} = 9 \cdot 10^{-2}$ ,  $M_w = 783$ , для области энергий  $W - M_w \sim W$  имеем  $\sigma_{e^+e^- \rightarrow W \gamma \gamma \rightarrow 2\gamma\gamma \rightarrow 4\gamma} = 8 \cdot 10^{-34} \text{ см}^2$ .

2. Вычислим сечение процесса тормозного излучения при анигилиации  $e^+e^-$  в  $\pi^+\pi^-$ . Рассмотрение проведем сначала для случая точечных пинонов в рамках квантовой электродинамики. Матричный элемент имеет вид (см. рис.3)  $e^+(p_+) + e^-(p_-) \rightarrow \pi^+(q_+) + \pi^-(q_-) + \gamma(k)$



$$M_{e^+e^- \rightarrow \pi^+\pi^-} = \frac{1}{S_1} \bar{V}(p_+) \left[ \gamma_m \frac{p_- - k + m_e}{-2p_- K} \hat{e} + \hat{e} \frac{-p_+ + k + m_e}{-2p_+ K} \gamma_m \right] U(p_-)(q_- - q_+)_m + \frac{1}{S_1} \bar{V}(p_+) \bar{U}(p_-) \left[ (q_+ \pm k - q_+)_m \frac{(e q_-)}{(K q_-)} + (q_- - q_+ \mp k)_m \frac{(-e q_+)}{(K q_+)} - 2g_{\mu\nu} \ell_\nu \right] = M_e + M_\pi.$$

Расчет удобно проводить, пользуясь техникой спиральных амплитуд [6]. Вектор поляризации фотона в случае, если он излучается электроном или позитроном (рис.3а, б)

$$(e_2^{(e)})_m = \frac{N_1}{\sqrt{2}} \left[ P_+ K \cdot P_{-m} - P_- K \cdot P_{+m} + i \gamma \sum_{\mu \neq \nu} p_\mu \gamma^\nu P_+^\mu P_-^\nu K^\lambda \right], \quad b = \pm 1$$

и в случае, когда он излучается мезонами

$$(e_\lambda^{(\pi)})_m = \frac{N_2}{\sqrt{2}} \left[ q_+ K \cdot q_{-m} - q_- K \cdot q_{+m} + i \lambda \sum_{\mu \neq \nu} p_\mu \gamma^\nu q_+^\mu q_-^\nu K^\lambda \right], \quad \lambda = \pm 1,$$

где

$$N_1 = [2P_+ P_- P_+ K \cdot P_- K]^{-1/2}, \quad N_2 = [2q_+ q_- q_+ K \cdot q_- K]^{-1/2}.$$

Вектора  $e_\lambda^{(e)}$  и  $e_\lambda^{(\pi)}$  связаны

$$e_\lambda^{(\pi)} = e_\lambda^{(e)} e^{i\Phi_\lambda}, \quad e^{i\Phi_\lambda} = N_1 N_2 [(X_+ P_- - X_- P_+) (X'_+ q_- - X'_- q_+) + i \lambda K (P_+ + P_-) \cdot \sum_\mu p_\mu \delta P_+^\mu P_-^\nu q_-^\nu K^\lambda], \quad X_\pm = K P_\pm, \quad X'_\pm = K q_\pm,$$

и удовлетворяют условию  $e_2^{(e)} (e_\lambda^{(e)})^* = -\delta_{\lambda 2}$ .

Стандартное вычисление в ультрарелятивистском пределе для случая, когда угол излучения фотона к любой заряженной частице в С.И. велик по сравнению с  $M_e/\epsilon$ ,  $M_\pi/\epsilon$ , приводит к выражению для сечения

$$d\sigma = \frac{\omega^3}{32\pi^2 S} \cdot \frac{4(tu + t_1 u_1)}{ss_1} W \cdot d\Gamma, \quad (II)$$

где

$$S = (p_+ + p_-)^2, \quad t = (p_- - q_+)^2, \quad u = (p_- - q_-)^2, \quad d\Gamma = \frac{d^3 q_+ d^3 q_- d^3 K}{\varepsilon_+ \varepsilon_- W} \delta^{(4)}(p_+ + p_- - q_+ - q_- - K),$$

$$S_1 = (q_+ + q_-)^2, \quad t_1 = (p_+ - q_+)^2, \quad u_1 = (p_+ - q_-)^2, \quad (II)$$

и величина  $W$  совпадает с аналогичными множителями для процессов  $e^+e^- \rightarrow \mu^+\mu^-\gamma$ ,  $e^{\pm}e^- \rightarrow e^{\pm}\gamma$ :

$$W = (4 \chi_+^\dagger \chi_+ \chi_-^\dagger \chi_-)^{-1} [u(st + s_1 t_1) + u_1(s_1 t + st_1) + 2tt_1(s + s_1) + 2ss_1(t + t_1)], \quad \chi_\pm^\dagger = K P_\pm$$

и переходит в случае мягких фотонов в множитель совпадающего излучения. Сечение в форме (II) не учитывает структуры пинонов. Вводя её феноменологическим образом в виде формфакторов и учитывая также кинематическую область, когда фотон может лететь в узком конусе вдоль направления одной из заряженных частиц, перепишем сечение в виде

$$d\sigma^{e^+e^- \rightarrow \pi^+\pi^-\gamma} = \frac{\alpha^3 d\Gamma}{32\pi^2 s} \left\{ |F_\pi(s)|^2 \left[ \frac{t u + t_1 u_1}{s s_1} \cdot \frac{4s_1}{\chi'_+ \chi'_-} - \frac{8m_\pi^2}{s^2} \left( \frac{t u_1}{\chi'^2_+} + \frac{t_1 u}{\chi'^2_-} \right) \right] + |F_\pi(s_1)|^2 \left[ \frac{t u + t_1 u_1}{s s_1} \cdot \frac{4s}{\chi'_+ \chi'_-} - \frac{4m_\pi^2}{s s_1} (u t_1 + u_1 t) \left( \frac{1}{\chi'^2_+} + \frac{1}{\chi'^2_-} \right) \right] + \frac{t u_1 + t_1 u}{s s_1} \cdot \frac{\operatorname{Re} F_\pi(s) F_\pi^*(s_1)}{\chi'_+ \chi'_- \chi'^2_+ \chi'^2_-} [s s_1 (t + t_1 - u - u_1) + (s + s_1)(t t_1 - u u_1)] \right\} \quad (I3)$$

3. Вычислим асимметрию распределения  $\pi^\pm$ -мезонов, образованных в процессе  $e^+e^- \rightarrow \pi^\pm\pi^\mp(\gamma)$ . Вклад виртуальных фотонов происходит от интерференции амплитуд 1-го (рис. 4a) и 2-го (рис. 4b, в, г, д, е) борновских приближений. Вклад реальных - от интерференции амплитуд рис. 3а, б и в, г, д.

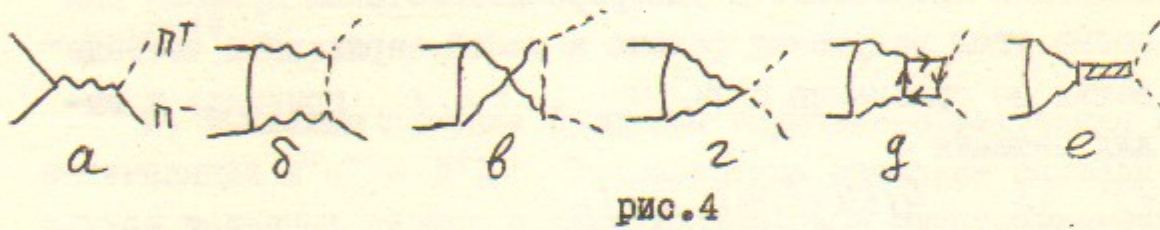


рис. 4

Ограничимся сначала вычислением в рамках квантовой электродинамики, считая пионы точечными. По определению имеем

$$\beta(\theta) = (d\sigma(\theta) - d\sigma(\pi - \theta)) / (d\sigma(\theta) + d\sigma(\pi - \theta)), \theta = \vec{P}_- \vec{q}_-, \quad (I4)$$

где  $d\sigma(\theta)$  - инклузивное по  $\pi^\pm$ -мезону сечение. Для вклада виртуальных фотонов имеем:

$$\beta(\theta) = \frac{-2\lambda}{\pi \beta^2 \ln^2 \theta} [f(s, t) - f(s, u)], f(s, t) = \frac{1}{s} \sum_{(A)(+)(-)(Q)} \frac{d^4 k / i \pi^2}{(k^2 - m_\pi^2)^2} \cdot \frac{1}{\epsilon} \delta_P(\hat{k} - \hat{\Delta}) \hat{Q}(\hat{k} + \hat{P} - 2\hat{Q})(\hat{k} - \hat{\Delta})(\hat{k} + \hat{P} - 2\hat{Q}),$$

где

$$\begin{aligned} P_+ + P_- &= q_+ + q_-, Q = \frac{1}{2}(q_+ - q_-), \Delta = \frac{1}{2}(P_+ - P_-), P = \frac{1}{2}(P_+ + P_-), \\ S &= (P_+ + P_-)^2, t = (P - q_+)^2 = -\varepsilon^2(1 + \beta^2 - 2\beta c), u = (P - q_-)^2 = -\varepsilon^2(1 + \beta^2 + 2\beta c), \\ C &= \cos \theta, \beta = (1 - m_\pi^2/\varepsilon^2)^{1/2}, (\Delta) = (k^2 - 2k\Delta - P^2), (Q) = k^2 - 2kQ - P^2, \\ (+) &= k^2 - 2kP + P^2 - \lambda^2, (-) = k^2 + 2kP + P^2 - \lambda^2. \end{aligned}$$

вычисление с помощью [2] дает

$$\begin{aligned} f(s, t) - f(s, u) &= \left[ -\frac{1}{\beta} \Phi_Q + \frac{1}{2}(1 - \beta^2) \Phi_Q - \beta \Phi_\Delta + \beta \left( \frac{1}{2} \ln^2 \frac{s}{m_\pi^2} + \frac{1}{2} \ln^2 \frac{s}{m_e^2} \right) \right] C + \\ &+ 2\beta^2(1 - c^2) \ln \left( \frac{2\varepsilon}{\lambda} \right) \ln \frac{1 - \beta c}{1 + \beta c} + \frac{1}{4}(1 - \beta^2) \left[ \ln \frac{1 + \beta c}{1 - \beta c} \ln \frac{1 - \beta^2 c^2}{4} + 2\phi \left( \frac{1 + \beta^2 + 2\beta c}{2(1 + \beta c)} \right) \right. \\ &\left. - 2\phi \left( \frac{1 + \beta^2 - 2\beta c}{2(1 - \beta c)} \right) \right] - \frac{1}{2}(1 + \beta c) \left[ \ln^2 \left( \frac{1 + \beta c}{2} \right) + 2\phi \left( \frac{1 + \beta^2 + 2\beta c}{2(1 + \beta c)} \right) \right] + \frac{1}{2}(1 - \beta c) \cdot \\ &\cdot \left[ \ln^2 \left( \frac{1 - \beta c}{2} \right) + 2\phi \left( \frac{1 + \beta^2 - 2\beta c}{2(1 - \beta c)} \right) \right], \end{aligned}$$

$$\begin{aligned} \Phi_\Delta &= \frac{\pi^2}{6} + \frac{1}{2} \ln^2 \left( \frac{s}{m_e^2} \right), \Phi_Q = \ln \frac{1 + \beta}{1 - \beta} \ln \frac{s}{m_\pi^2} - \frac{1}{2} \ln^2 \left( \frac{1 + \beta}{1 - \beta} \right) - \frac{\pi^2}{6} + \\ &+ 2\phi \left( \frac{1 + \beta}{2} \right) - 2\phi \left( \frac{1 + \beta}{2} \right) + 2\phi \left( -\frac{1 + \beta}{1 - \beta} \right), \\ \phi(x) &= \int_0^x dy/y \ln(1 - y). \end{aligned} \quad (I5)$$

В пределе  $s \gg m_\pi^2$  имеем

$$|f(s, t) - f(s, u)|_{s \rightarrow \infty} = \left\{ 4 \ln \left( \frac{2\varepsilon}{\lambda} \right) \ln \frac{\theta}{2} - \left( \frac{\ln \ln \frac{\theta}{2}}{C_0 \theta/2} \right)^2 + \left( \frac{\ln \ln \frac{\theta}{2}}{\ln \frac{\theta}{2}} \right)^2 \right\} \ln^2 \theta,$$

что совпадает с результатом работы Брауна и Микаэляна [7].

Вклад в асимметрию от излучения мягких в с.ч.и. фотонов  $\omega < \Delta\varepsilon \ll \varepsilon$  находится по аналогии с соответствующим расчетом для процесса  $e^+e^- \rightarrow \mu^+\mu^-$  [8]:

$$\begin{aligned} d\sigma_{\text{odd}}^{e^+e^- \rightarrow \pi^+\pi^-\gamma} &= d\sigma_{\text{odd}}^{e^+e^- \rightarrow \mu^+\mu^-} \left\{ -2 \ln \left( \frac{2\Delta\varepsilon}{\lambda} \right) \ln \frac{1 + \beta c}{1 - \beta c} - \frac{1}{2} \ln \frac{1 + \beta c}{1 - \beta c} \ln \frac{1 - \beta^2 c^2}{4} - \right. \\ &- \phi \left( \frac{\beta^2(1 - c^2)}{1 + \beta^2 - 2\beta c} \right) + \phi \left( \frac{\beta^2(1 - c^2)}{1 + \beta^2 + 2\beta c} \right) - \phi \left( \frac{1 + \beta^2 + 2\beta c}{2(1 + \beta c)} \right) + \phi \left( \frac{1 + \beta^2 - 2\beta c}{2(1 - \beta c)} \right) + \\ &\left. + \int_0^{1 - \beta^2} \frac{dz}{z} \ln \left[ \left( 1 - z \frac{1 + \beta^2 - 2\beta c}{(1 + \beta c)^2} \right)^{-1/2} - \left( 1 - z \frac{1 + \beta^2 + 2\beta c}{(1 - \beta c)^2} \right)^{-1/2} \right] \right\}, \quad (I6) \end{aligned}$$

$$f(z) = \frac{1}{2} \left( (1-z)^{-\frac{1}{2}} - 1 \right) \ln \frac{z}{4} - (1-z)^{-\frac{1}{2}} \ln \frac{1+(1-z)^{\frac{1}{2}}}{2}$$

Вклад в асимметрию от излучения жестких фотонов зависит от постановки эксперимента. В квазиупругой постановке – когда двухчастичным считается событие с вылетом в с.ц.и. частиц в противоположных направлениях с углом расколлинеарности, не превышающим  $\Delta\theta, \Delta\psi \ll 1$  [9].

$$\begin{aligned} \mathcal{Y}_{\text{hard}} &= \frac{2\alpha}{\pi} \left\{ 2 \ln \frac{1+\beta c}{1-\beta c} \left( \ln \frac{\Delta\theta + \Delta\psi}{2\ln\theta} + \ln \frac{\epsilon}{4\varepsilon} \right) + 2 \ln^2 \ln \frac{\theta}{2} - 2 \ln^2 \ln \frac{\theta}{2} + \right. \\ &+ \Phi\left(\ln^2 \frac{\theta}{2}\right) - \Phi\left(\ln^2 \frac{\theta}{2}\right) + \int \frac{d\Omega_K}{8\pi} \ln \frac{\sin^2 \theta}{\sin^2 \theta_K} \left[ \frac{1-\beta c}{(1+\beta c)(1+\beta_e z)} + \right. \\ &\left. \left. + \frac{1-\beta c}{(1-\beta c)(1-\beta_e z)} - \frac{1+\beta c}{(1+\beta c)(1-\beta_e z)} - \frac{1+\beta c}{(1-\beta c)(1-\beta_e z)} - (\beta \beta_e^{-1}) \right] \right\} \quad (I7) \end{aligned}$$

где  $C_K = \cos\theta_K$ ,  $z = CC_K - \ln\theta \ln\theta_K \cos\varphi_K$ ,  $\int d\Omega_K = \int_0^{2\pi} d\varphi_K \int_0^\pi \sin\theta_K d\theta_K$ .

В асимптотике  $\overset{s \rightarrow \infty}{\sim}$  имеем:

$$\mathcal{Y}^{\text{QE}}(\theta) = \frac{2\alpha}{\pi} \left[ 4 \ln \ln \frac{\theta}{2} \ln \left( \frac{\Delta\theta + \Delta\psi}{2\ln\theta} \right) + \left( 4 - \frac{1}{C_K^2 \frac{\theta}{2}} \right) \ln^2 \ln \frac{\theta}{2} - \left( 4 - \frac{1}{\ln^2 \frac{\theta}{2}} \right) \ln^2 \ln \frac{\theta}{2} \right]. \quad (I8)$$

Вклад в асимметрию от интерференции борновской амплитуды с амплитудой  $e^+e^- \rightarrow \pi^+\pi^-$ , учитывающей промежуточное нуклонное состояние (рис. 4д) имеет вид:

$$\mathcal{Y}^{\text{KM}}(\theta) = \frac{2\alpha}{\pi} L \cdot \left( \frac{\Sigma g_A}{2\pi F_\pi} \right)^2 A(s, t), \quad m_R < \Sigma < 2\pi F_\pi \quad (I9)$$

где выражение для  $A$  приведено выше (см. (6)).

Для сравнения приведем вклад в асимметрию от интерференции амплитуды, учитывающей переход через  $\rho$ -мезон с амплитудой, учитывающей промежуточное состояние с  $f$ -мезоном:

$$\mathcal{Y}^f(\theta) = \frac{20}{3} \cdot \frac{S}{m_f^2} \cdot \frac{m_g}{m_f} \cdot \cos\theta \cdot \beta_f^{-\frac{3}{2}} \left( \frac{2\Gamma_{e^+e^-}^f - \Gamma_{\pi^+\pi^-}^f}{\Gamma_{e^+e^-}^g - \Gamma_{\pi^+\pi^-}^g} \right)^{\frac{1}{2}} K_f \left( i \frac{m_g^2 - S - im_g \Gamma_g}{m_f^2 - S - im_f \Gamma_f} \right) \quad (20)$$

Приведем порядки величин вкладов в асимметрию для области энергий в районе  $f$ -мезона  $\Delta\theta/\sin\theta \sim 1/10$ ,  $\Delta\theta \sim \Delta\psi$ ,  $\theta \sim 60^\circ$  (ср. [10])

$$|\mathcal{Y}^{\text{QE}}| \sim 2.5\%; |\mathcal{Y}^{\text{KM}}| \sim 0.5\%; |\mathcal{Y}^f| \sim 10\%.$$

4. В рамках киральной модели можно вычислить сечение процесса  $e^+e^- \rightarrow \pi^0\pi^0\gamma$  (см. рис. 5)

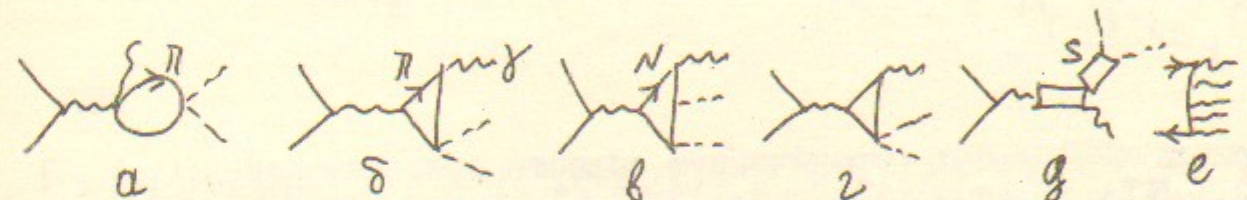


рис. 5

В нерелятивистском пределе ненулевой вклад происходит от амплитуды с промежуточным пионным состоянием (рис. 5а, б):

$$M^{e^+e^- \rightarrow \pi^0\pi^0\gamma} = \frac{i}{S} \bar{V}(t_+) \gamma^\mu u(t) \bar{e}^{*\nu}(k) \left( -\frac{2e^2}{16\pi^2 F_\pi^2} \right) (s_1 + 2m_\pi^2(b-1)) \gamma_{\mu\nu}, \quad (21)$$

$$J_{\mu\nu} = \int \frac{(d^4 k / i\pi^2) (g_{\mu\nu} - 4 \frac{k_\mu k_\nu}{k^2 - m_\pi^2})}{((k-q)^2 - m_\pi^2)((k-k)^2 - m_\pi^2)}.$$

Вычисление интеграла  $J_{\mu\nu}$  приводит к результату (здесь проявляется свойство КМ в однопетлевом приближении – сокращение ультрафиолетовых расходимостей):

$$J_{\mu\nu} = \left( g_{\mu\nu} - \frac{q^\mu q^\nu}{k^4} \right) \left( -1 + \frac{m_\pi^2}{S-s_1} (L_1^2 - L^2) + \frac{S}{S-s_1} (\beta L - \beta_1 L_1) \right) = \left( g_{\mu\nu} - \frac{q^\mu q^\nu}{k^4} \right) I,$$

где

$$L_1 = \ln \frac{1+\beta_1}{1-\beta_1} + i \eta \theta(S_1 - 4m_n^2), \quad \beta_1 = \left(1 - \frac{4m_n^2}{S_1}\right)^{\frac{1}{2}}, \quad S_1 = (p_1 + p_2)^2$$

$$L = \ln \frac{1+\beta}{1-\beta} + i \eta \theta(S - 4m_n^2), \quad \beta = \left(1 - \frac{4m_n^2}{S}\right)^{\frac{1}{2}}, \quad S = q^2 = (p_1 + p_2)^2 \quad (22)$$

Сечение имеет вид

$$d\sigma^{e^+e^- \rightarrow \pi^0\pi^0\gamma} = \frac{1}{2!} \frac{\omega^3}{16\pi S} \left( \frac{S_1 + 2m_n^2(\ell-1)}{(4\pi F_n)^2} \right)^2 |D|^2 (1 + C_{\alpha}^2 \theta_{\gamma}) d\Gamma, \quad (23)$$

где

$$d\Gamma = \frac{d^3 p_1 d^3 p_2 d^3 k}{\sum_i \varepsilon_i W} \delta^{(4)}(p_1 + p_2 - p_3 - k),$$

$$\theta_{\gamma} = \vec{p}_- \cdot \vec{k}.$$

Формула (23) имеет ограниченную область применимости  $2m_n < \sqrt{S_1} < 4m_n$ , где вкладом нуклонных петель и высших приближений КМ можно пренебречь. В этой области сечение имеет порядок  $10^{-34} \text{ см}^2$ . Оценить сечение вне этой области можно, рассмотрев механизм образования  $\pi^0\pi^0\gamma$  системы через промежуточные резонансные состояния (рис.5д)

$$d\sigma^{(e^+e^- \rightarrow V \rightarrow S\gamma \rightarrow \pi^0\pi^0\gamma)} = \frac{3\omega^3 M_V^3}{2! \cdot 64\pi^2 S} \frac{\Gamma_{V \rightarrow e^+e^-}}{(S - M_V^2)^2 + m_V^2 \Gamma_V^2} \cdot \frac{g^2}{(S - M_V^2)^2 + m_V^2 \Gamma_V^2} B_{S \rightarrow \pi^0\pi^0} \cdot \frac{W^2 (1 + C_{\alpha}^2 \theta_{\gamma})}{(S_1 - M_S^2)^2 + m_S^2 \Gamma_S^2}, \quad B_{S \rightarrow \pi^0\pi^0} = \Gamma_{S \rightarrow \pi^0\pi^0} / \Gamma_S. \quad (24)$$

Фоновый процесс аннигиляции  $e^+e^-$  в 5 фотонов (рис.5е) в области больших углов вылета фотонов к оси пучков имеет пре-небрежимо малое сечение:  $\sigma(e^+e^- \rightarrow 5\gamma) \sim 5/S\pi^2 \sim 10^{-37} \text{ см}^2$  для  $S \sim f_{\Gamma_3} \beta^2$ .

5. Рассмотрим процесс (см. рис.6)

$$e^+(p_+) + e^-(p_-) \rightarrow \pi^+(q_+) + \pi^-(q_-) + \pi^0(q_0).$$

В однопетлевом приближении КМ дает вклад только диаграммы с промежуточным нуклон-антинуклонным состоянием, одна из которых изображена на рис.6а.

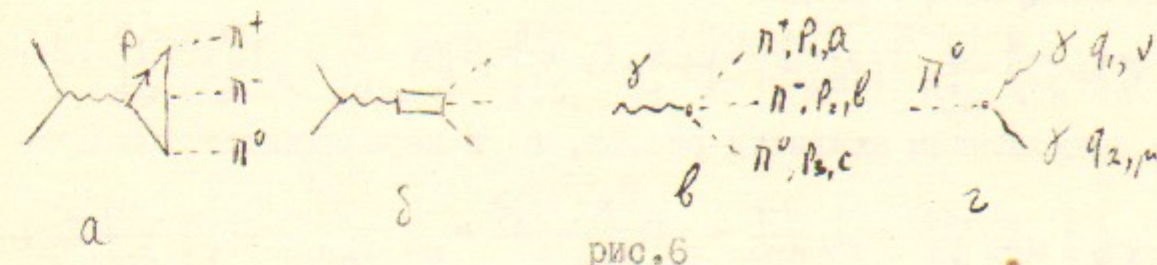


рис.6

Сечение имеет вид

$$d\sigma^{e^+e^- \rightarrow \pi^+\pi^-\pi^0\gamma} = \frac{2\omega^2 M_N^4 g_A^6}{(4\pi F_n)^6} \left(1 - \frac{3m_n}{2\varepsilon}\right)^4 |D|^2 F \cdot \frac{dx_+ dx_- dx_0 dx_{\gamma}}{\left[1 - C_+^2 C_-^2 C_0^2 + 2C_+ C_- C_0\right]^{\frac{1}{2}}} \quad (25)$$

где

$$F = (1-x_+)(1-x_-)(1-x_0) - \frac{1}{8} x_+^2 x_-^2 (S_+^2 + S_-^2) + \frac{1}{8} (x_+ x_- - 2 + 2x_0) (x_+^2 + x_-^2 - x_0^2 + 2x_+ x_- - C_+ C_-);$$

$$D = (1-x_-)^{\frac{1}{2}} \int_0^1 \frac{du}{1 + \frac{s}{M_N^2} \frac{(1+x_+)(1-x_0)}{1-x_-} u(1-u)} \int_0^1 \frac{\left(1 - \frac{s}{M_N^2} (1-x_0) u(1-u)\right) \left(1 - \frac{s}{M_N^2} (1+x_+) u(1-u)\right)}{1 - \frac{s}{M_N^2} u(1-u)}$$

$$+ (x_- \rightarrow x_+, x_+ \rightarrow x_0, x_0 \rightarrow x_-) + (x_- \rightarrow x_0, x_0 \rightarrow x_+, x_+ \rightarrow x_-),$$

$x_{\pm} = \varepsilon_{\pm}/\varepsilon$  доли энергий конечных заряженных пионов  $x_+$   
+  $x_0 + x_- = 2$ ,  $C_{\pm} = \cos \theta_{\pm}$ ,  $\beta_{\pm} = \sin \theta_{\pm}$ ,  $\theta_{\pm}$  - углы их выле-  
та к оси пучков:  $\theta_{\pm} = \vec{p}_{\pm} \vec{q}_{\pm}$ ,  $s = 4\varepsilon^2$ ,  $M_N$  - масса нуклона,  
 $2\varepsilon$  - полная энергия в с.ц.и. пучков. Полное сечение имеет по-  
рядок [II]  $\sigma^{e^+e^- \rightarrow 3\gamma} \sim 10^{-34} \text{ см}^2 \left(1 - \frac{3m_n}{2\varepsilon}\right)^4$ .

Выражение (25) справедливо в области  $2\varepsilon < 4\pi F_n$  вне  $W$ -  
резонанса.

Согласно низкоэнергетической теореме [12] константа  $h$ ,  
входящая в ток, описывающий переход  $\gamma \rightarrow 3\pi$  (рис.6в)

$$J_{\gamma} = \langle p_1, a; p_2, b; p_3, c | \bar{J}_{\gamma}(0) | 0 \rangle = i h \sum_{abc} \sum_{\nu\mu\beta\gamma} P_1^a P_2^b P_3^c \beta_{\mu} \gamma_{\nu} \gamma_{\beta} \gamma_{\gamma}$$

и константа  $f$ , определяющая распад  $\pi^0 \rightarrow 2\gamma$  (рис. 6г):

$$M_{YM} = f \sum_{q_1 q_2} q_1^\alpha q_2^\beta,$$

связаны следующим образом

$$e h = R \cdot f^{-2}, \quad f_n = \frac{0.93}{\sqrt{2}} m_n, \quad e^2 = 4\pi\alpha.$$

Прямым вычислением амплитуд рис. 6в, г в нерелятивистском пределе:

$$(h)^{KM} = \frac{4e g_A^3}{F_\pi^3}, \quad (f)^{KM} = \frac{4e g_A}{F_\pi}$$

убеждаемся, что низкоэнергетическая теорема выполняется в однопетлевом приближении КМ с хорошей точностью.

6. Сечение процесса электророждения некоторой системы  $\phi$   $e^\pm e^- \rightarrow e^\pm e^- \phi$  имеют вид:

$$d\sigma^{e^+ e^- \rightarrow e^+ e^- \phi} = \frac{\omega^2}{4\pi^2} h^2 \left(\frac{s}{m_e^2}\right) \cdot f\left(\frac{s_1}{s}\right) \cdot \frac{d\sigma_{\gamma\gamma \rightarrow \phi}}{s_1}, \quad (26)$$

где  $s_1$  – квадрат инвариантной массы системы  $\phi$ ,

$$f(x) = (2+x)^2 \ln \frac{1}{x} - 2(1-x)(3+x)$$

$d\sigma_{\gamma\gamma \rightarrow \phi}$  – дифференциальное сечение образования системы  $\phi$  двумя реальными фотонами.

Матричный элемент процесса образования двух нейтральных пионов двумя  $\gamma$ -квантами в однопетлевом приближении КМ имеет вид

$$M_{\gamma\gamma \rightarrow \pi^0 \pi^0} = M^{(n)} + M^{(N)}, \quad \gamma(k_1) + \gamma(k_2) \rightarrow \pi^0(q_1) + \pi^0(q_2). \quad (27)$$

Вклад промежуточной пионной петли:

$$M^{(n)} = \frac{8i\pi d (s_1 - 2m_n^2(1-\beta))}{(4\pi F_\pi)^2} \left(1 + \frac{m_n^2}{s_1} L_1^2\right) (\ell_1 \ell_2), \quad L_1 = \ln \frac{1+\beta_1}{1-\beta_1} + i\eta, \quad (28)$$

$\beta_1 = (1 - 4m_n^2/s_1)^{1/2}$ ,  $\ell_{1,2}$  – вектора поляризации фотонов,  $S_1 = (q_1 + q_2)^2$ .

Вклад промежуточной нуклонной петли:

$$M^{(N)} = \frac{32\pi d g_A^2}{(4\pi F_\pi)^2} \left\{ S_1(\ell_1 \ell_2) \left[ -I_{s_1} - I_u \left(1 - \frac{t^2}{4m_N^2 u}\right) - I_t \left(1 - \frac{u^2}{4m_N^2 t}\right) \right] \right. \quad (29)$$

$$\left. + \frac{1}{2} \left( \frac{s_1^2}{tu} - 1 \right) \alpha_{s_1} + \frac{t^2}{2us_1} \alpha_t + \frac{u^2}{2ts_1} \alpha_u \right] + (q_1)(\ell_2 q_1) \left[ -\frac{s_1^2}{tu} (I_{s_1} + I_t + I_u) + \frac{s_1^2 u}{2t^2 m_N^2} I_t + \frac{s_1^2 t}{2u^2 m_N^2} I_u + \frac{s_1^2 (t^2 + u^2)}{t^2 u^2} \alpha_{s_1} + \frac{ts_1}{u^2} \alpha_t + \frac{us_1}{t^2} \alpha_u \right] \right\},$$

величины  $I_i$ ,  $\alpha_i$  определены выше (см. (6)),  $t = (k_1 - q_1)^2$ ,  $u = (k_1 - q_2)^2$ . Для определенности приведем вклад в сечение  $\gamma\gamma \rightarrow \pi^0 \pi^0$  от пионной петли:

$$\delta_{(S_1)}^{\gamma\gamma \rightarrow \pi^0 \pi^0} = \frac{\pi d^2}{S_1} \beta_1 \left( \frac{S_1 + 2m_n^2(1-\beta)}{(4\pi F_\pi)^2} \right)^2 \left| 1 + \frac{m_n^2}{S_1} \left( \ln \frac{1+\beta_1}{1-\beta_1} + i\eta \right)^2 \right|^2. \quad (30)$$

Полное сечение процесса  $e^+ e^- \rightarrow e^+ e^- \pi^0 \pi^0$  для  $2\varepsilon = 10$  ГэВ есть нонобарн. Формулы (27–30) также как и оценка полного сечения справедливы для инвариантных масс  $\sqrt{S_1}$  образованной системы пионов, не превышающих 1 ГэВ. Для  $\sqrt{S_1}$  порядка масс резонансов можно использовать феноменологическое описание  $M$  с резонансными состояниями в  $S_1$ ,  $t$ ,  $u$  каналах:

$$M = e^2 (M_{S_1} + M_t + M_u), \quad (31)$$

$$d\sigma_{(S_1)}^{\gamma\gamma \rightarrow \pi^0 \pi^0} = \frac{1}{2!} \frac{\omega^2 \beta_1}{16S_1} \sum_m |M_{S_1} + M_t + M_u|^2 dO_1,$$

где

$$M_{S_1} = \frac{g_{\pi\pi} g_{\pi\pi\pi\pi} \ell_1^\mu \ell_2^\nu}{2m_\pi^2 (S - m_\pi^2 + im_\pi \Gamma_\pi)} \left[ S (q_1^\mu q_2^\nu + q_1^\nu q_2^\mu) + t (k_2^\mu q_2^\nu + k_1^\nu q_1^\mu) + u (k_2^\mu q_1^\nu + k_1^\nu q_2^\mu) + tu g^{\mu\nu} \right], \quad (32)$$

$$M_t = \frac{g_{\pi\pi}^2 \ell_1^\mu \ell_2^\nu}{4m_\pi^2 (t - m_\pi^2 + im_\pi \Gamma_\pi)} [t^2 g_{\mu\nu} + 2t (k_2^\mu q_2^\nu + k_1^\nu q_1^\mu) + 2S q_1^\mu q_2^\nu],$$

$$M_u = \frac{g_{\pi\omega\gamma}^2 e_1^m e_2^s}{4m_\omega^2 (u - m_\omega^2 + im_\omega\Gamma_\omega)} \left[ u^2 g_{\mu\nu} + 2u(q_{2\mu}k_{1\nu} + q_{1\nu}k_{2\mu}) + 2s q_{2\mu}q_{1\nu} \right],$$

входящие константы связи можно выразить через парциальные ширины:

$$g_{\rho\rightarrow\gamma\gamma}^2 = 20 \Gamma_{\rho\rightarrow\gamma\gamma} (d^2 m_\rho \pi)^{-1}, \quad g_{\rho\rightarrow\pi^0\eta^0}^2 = 960 \Gamma_{\rho\rightarrow\pi^0\eta^0} m_\rho^{-1} (1 - m_\rho^2/m_\pi^2)^{-5/2}, \quad (33)$$

$$\Gamma_{\omega\rightarrow\pi\gamma} = \frac{\alpha M_\omega}{24} g_{\omega\pi\gamma}^2 (1 - m_\pi^2/m_\omega^2)^3.$$

7. Матричный элемент процесса образования двумя реальными фотонами систем  $\pi^+\pi^- \pi^0$  имеет вид [13] :

$$M_{\gamma\gamma\rightarrow 3\pi} = \frac{\alpha}{36\pi F_\pi^3} \sum_{\mu\nu\sigma\tau} F_{\mu\nu} F_{\sigma\tau} \pi^+ \pi^- (6A_\sigma \partial_\tau \pi^0 - F_{\sigma\tau} \pi^0). \quad (34)$$

Дифференциальное сечение

$$d\sigma_{\gamma\gamma\rightarrow\pi^+\pi^-\pi^0} = \frac{\alpha^2}{324} \frac{s_1}{(4\pi F_\pi)^6} \left( 1 - \frac{3}{2} \frac{\varepsilon_+}{\sqrt{s}_1} C_1 \theta_+ - \frac{3}{2} \frac{\varepsilon_-}{\sqrt{s}_1} C_0 \theta_- \right)^2 \left( 1 - \frac{3m_\pi}{\sqrt{s}_1} \right)^4 d\Gamma, \\ d\Gamma = \frac{d^3 q_+ d^3 q_- d^3 q_0}{\varepsilon_+ \varepsilon_- \varepsilon_0} \delta^{(4)}(k_1 + k_2 - q_+ - q_- - q_0). \quad (35)$$

здесь  $\sqrt{s}_1$  — инвариантная масса системы 3-х пионов,  $\theta_\pm = \vec{p}_\pm \vec{q}_\pm$   
 — углы вылета  $\pi^\pm$  мезонов к оси пучка,  $\varepsilon_\pm$  — энергии  $\pi^\pm$  в системе центра инерции  $\pi^+\pi^-\pi^0$ .

В заключение авторы благодарят за полезные обсуждения С.Середнякова, В.Тельнова, В.Фадина, Л.Курдадзе, Г.Шестакова, Н.Ачасова.

### Литература

1. М.К.Волков, В.Н.Первушин "Существенно нелинейные теории..." Атомиздат, 1978 г.
2. Э.А.Кураев. Препринт ИЯФ 80-155.
3. А.И.Вайнштейн, И.Б.Хриплович. ЯФ 13 стр.620 (1971).
4. Н.И.Азимов и др. Письма в ЖЭТФ 21, 378 (1975).
5. В.Г.Горшков, Л.Н.Липатов ЯФ 9, стр.818 (1969).
6. F.A.Berends et al Preprint-KUL TF 79/022 (1979),
7. R.W.Brown and K.O.Mikaelian Lett. al. Nuovo Cimento 10, 305 (1974).
8. E.A.Kuraev and G.V.Meledin Nucl.Phys. B 122 (1977), 485.
9. S.I.Eidelman and E.A.Kuraev Phys.Lett. 80B, 94 (1978).
10. S.H.Patil and S.D.Rindani Phys.Rev. D 13, 730 (1976).
11. R.Avir and A.Zee Phys.Rev. D 5, 2372 (1972); N.Cabbibo, R.Gatto P.R.L. 4, 313, (1960).
12. М.В.Терентьев Т ЖЭТФ 14, стр.140 (1971).
13. Y.Wen, B.Zumino Phys.Lett. 37B (1971), 95.

А.А.Бельков, Э.А.Кураев, В.Н.Первушин

ПРОЦЕССЫ ОБРАЗОВАНИЯ ПСЕВДОСКАЛЯРНЫХ МЕЗОНОВ  
ПРИ  $e^+e^-$  СТОЛКНОВЕНИЯХ

Препринт  
№ 84- 82

Работа поступила - 21 мая 1984 г.

---

Ответственный за выпуск - С.Г.Попов

Подписано к печати 11.06.1984 г. № 04339

Формат бумаги 60x90 I/16 Усл.1,5 печ.л., 1,2 учетно-изд.л.

Тираж 290 экз. Бесплатно. Заказ № 82.

---

Ротапринт ИЯФ СО АН СССР, г.Новосибирск, 90